

# 金华十校 2020 年 4 月高三模拟考试

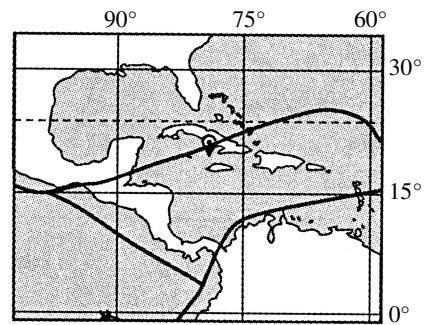
## 地 理

2020. 4

一、选择题 I (本大题共 20 小题, 每小题 2 分, 共 40 分。每小题列出的四个备选项中只有一个是符合题目要求的, 不选、多选、错选均不得分)

2020 年 1 月 29 日, 在古巴南部海域(19.46°N, 78.79°W) 发生 7.7 级地震, 震源深度 10 千米。完成 1~2 题。

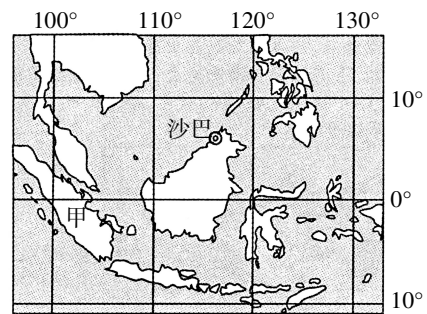
- 此次地震 ( )
  - 震源位于地壳
  - 地处海沟附近
  - 肯定引发海啸
  - 位于生长边界
- 可以用于监测地震发生的地理信息技术是 ( )
  - GIS
  - RS
  - GPS
  - VR



□ 陆地 □ 海洋 — 板块边界 ● 震中位置  
第 1~2 题图

马来西亚沙巴傍晚时分落日的红霞壮美而灿烂, 被誉为世界三大最佳日落观赏地之一。读沙巴地理位置示意图, 完成 3~4 题。

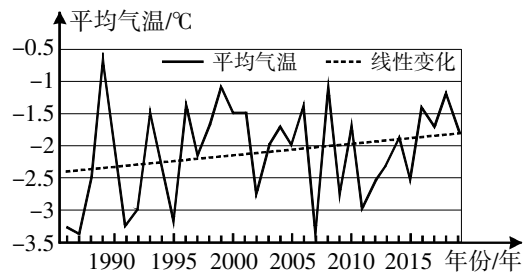
- 沙巴日落时漫天红霞的成因是大气对太阳辐射的 ( )
  - 反射
  - 折射
  - 散射
  - 吸收
- 甲地的农业地域类型 ( )
  - 以大种植园和农场为主
  - 专业化和商品化程度低
  - 橄榄等农作物广泛种植
  - 多采用谷物和牧草轮作



第 3~4 题图

右图为南极长城站 1986~2019 年平均气温及线性变化趋势图。完成 5~6 题。

- 1986~2019 年南极长城站的气温变化特点是 ( )
  - 持续升高
  - 均温最高出现在 2018 年
  - 波动上升
  - 2019 均温比 1986 高 0.6°C



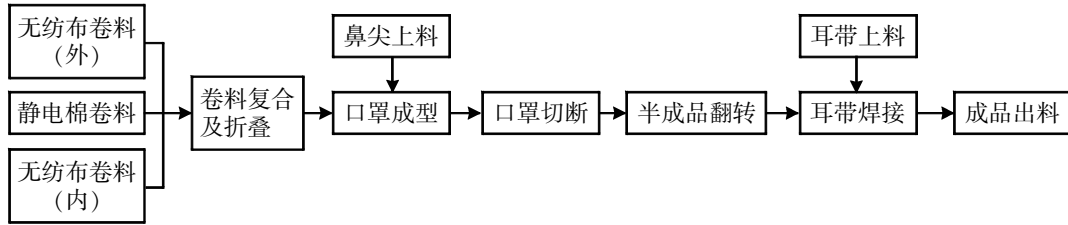
第 5~6 题图

- 图示气温变化给全球带来的影响最不可能的是 ( )
  - 全球各地降水减少
  - 扩大某些疫病流行
  - 高山冰川普遍退缩
  - 改变原有生态系统

浙江某地推广早芋和晚稻轮作模式, 利用地膜覆盖使毛芋上市时间和水稻育秧时间提前。完成 7~8 题。

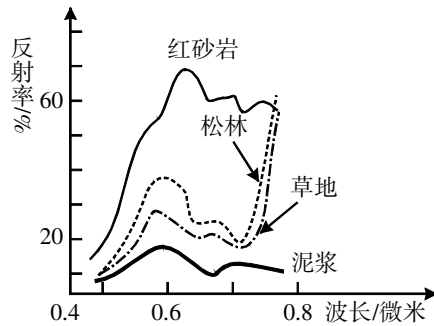
- 稻芋轮作模式得以实现的主导因素是 ( )
  - 光照
  - 热量
  - 市场
  - 技术
- 稻芋轮作模式的生态效益有 ( )
  - 增加就业岗位
  - 提高农民经济收入
  - 保持土壤肥力
  - 增加土地复种指数

下图是口罩生产工艺流程图。完成 9~10 题。



9. 影响口罩生产量的主要因素是 ( )  
 A. 市场                      B. 原料                      C. 技术                      D. 劳动力
10. 无纺布卷料生产厂与口罩加工厂之间的地域联系方式属于 ( )  
 A. 商贸联系                  B. 科技联系                  C. 信息联系                  D. 生产协作联系
- 读某一区域同面积的松林、草地、红砂岩和泥浆的反射波谱曲线。完成第 11 题。

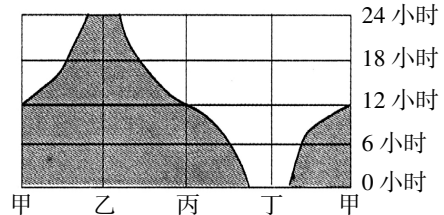
红砂岩	泥浆
松林	草地



11. 图中相邻地区上午时段(9:00~12:00)温差最大的是 ( )  
 A. 红砂岩与泥浆之间                      B. 松林与红砂岩之间  
 C. 草地与松林之间                      D. 泥浆和草地之间

右图为某地昼夜长短分布示意图，图中阴影部分表示黑夜。完成第 12 题。

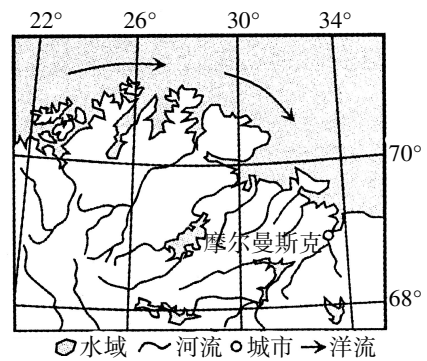
12. 若甲、乙、丙、丁为四个节气，则该地纬度与下列最接近的是 ( )  
 A. 66°                      B. 72°  
 C. 80°                      D. 82°



第 12 题图

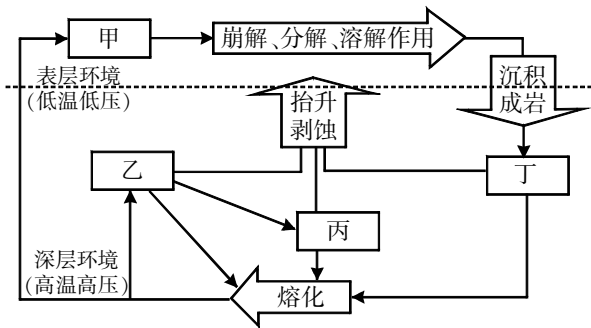
13. 图示地区 ( )  
 ①河运发达    ②冰川地貌广布    ③河流终年不冻  
 ④可能观测到极光  
 A. ①③                      B. ①④  
 C. ②③                      D. ②④

14. 该地区酸雨影响明显的主要原因是 ( )  
 A. 本地区工业生产发达  
 B. 冬季居民的燃煤取暖  
 C. 盛行风带来污染气体  
 D. 交通运输的排放量大



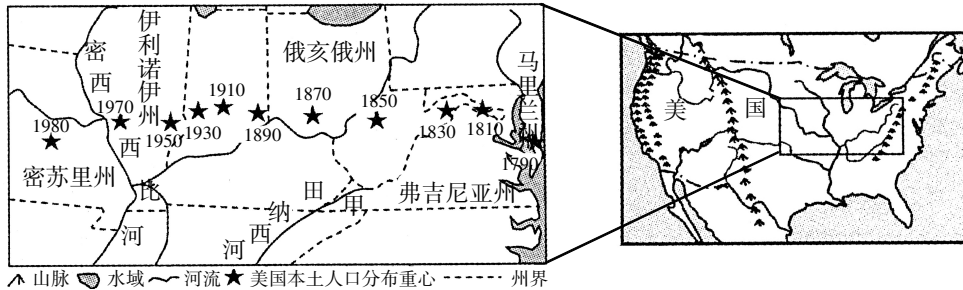
第 13~14 题图

15. 图中类型匹配正确的是 ( )  
 A. 甲—沉积岩                  B. 乙—侵入岩                  C. 丙—岩浆                  D. 丁—变质岩



16. 下列地貌形成的外力作用最相似的是 ( )  
 ①西北地区沙丘 ②北美五大湖区 ③河口三角洲 ④华山西峰  
 A. ①③ B. ②③ C. ①④ D. ②④

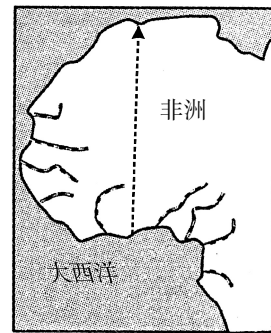
下图为美国本土人口分布重心移动轨迹示意图。完成 17~18 题。



17. 美国人口重心分布变化的原因最可能是 ( )  
 A. 东部人口老龄化减轻 B. 东部郊区城市化显著  
 C. 中部商品农业水平高 D. 西部人口总量增长快
18. 甲地实现区域可持续发展的方向主要是 ( )  
 ①农业以栽培果树为主 ②实行规模化的棉花种植 ③大力发展特色旅游业 ④大力发展大牧场放牧业  
 A. ①② B. ②③ C. ①③ D. ②④

读非洲部分国家铁路分布示意图,完成 19~20 题。

19. 下列关于非洲铁路线分布特征的叙述,不正确的是 ( )  
 A. 多从沿海向内陆延伸  
 B. 未形成相对完善的铁路网  
 C. 多分布在沿海地区,内陆很少  
 D. 反映了以农矿产品进口为主的经济模式
20. 沿图中箭头方向,非洲自然带的变化体现了 ( )  
 A. 垂直分异规律  
 B. 纬度地带分异规律  
 C. 干湿湿度地带分异规律  
 D. 地方性分异规律

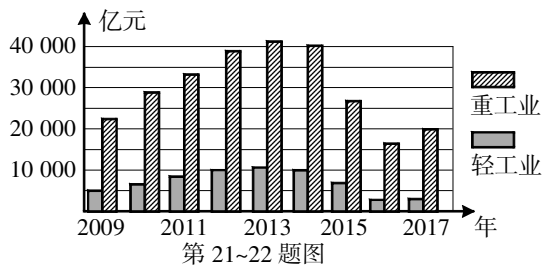


第 19~20 题图

二、选择题 II (本大题共 5 小题,每小题 3 分,共 15 分。每小题列出的四个备选项中只有一个是符合题目要求的,不选、多选、错选均不得分)

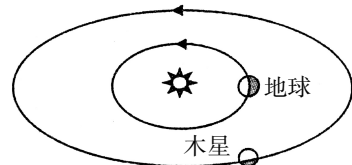
读 2009~2017 年辽宁省轻、重工业规模以上企业工业总产值柱状图,完成 21~22 题。

21. 2014 年到 2017 年辽宁省 ( )  
 A. 重工业的产值逐年下降  
 B. 轻工业比重逐渐增加  
 C. 工业总产值在逐年降低  
 D. 产业的结构不断优化



第 21~22 题图

22. 2015 年宝马和通用汽车公司相继在辽宁设厂,其主要依托该省 ( )
- A. 丰富的煤铁资源            B. 便利的交通条件  
C. 完备的产业链            D. 广阔的消费市场
23. 木星公转周期约为 12 年,它最亮的时候,在天空中的大小和亮度都接近金星。读某时刻木星所处轨道位置图,木星出地平面的时间及在夜晚观测木星的时段为 ( )
- A. 早晨    下半夜            B. 正午    上半夜  
C. 傍晚    上半夜            D. 子夜    下半夜
- 右图为纽芬兰岛及周边区域示意图。完成 24~25 题。
24. 下列四地冬季降雪成因与该区域相似的是 ( )
- ①山东半岛渤海沿岸    ②田纳西河上游地区    ③云贵高原贵阳地区    ④日本海的东部沿岸
- A. ①③                            B. ①④  
C. ②③                            D. ②④
25. 甲海域发现了大量海洋污染物,其扩散方向主要为 ( )
- A. 东南                            B. 东北  
C. 西北                            D. 西南



第 23 题图



第 24~25 题图

三、非选择题(本大题共 4 小题,共 45 分)

26. (10 分)阅读材料,完成下列问题。

材料一:图 1 为我国某区域略图。2020 年 2 月 15 日,黄河磴口段开河,流量达到每秒 604 立方米。

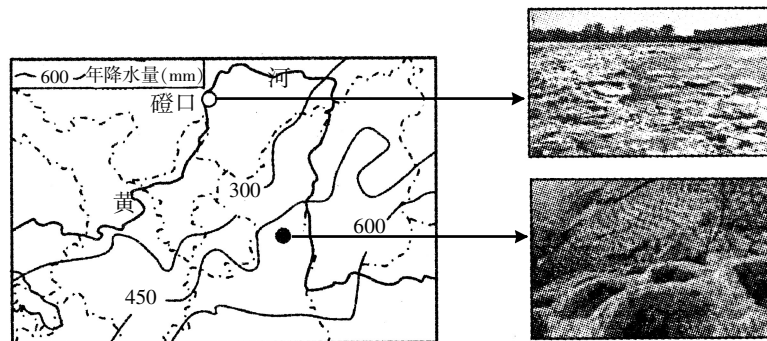


图 1

图 2

材料二:2020 年我国将进一步推进黄河流域生态保护。黄土高原通过生态修复如鱼鳞坑(图 2,黄土高原常用的生态整地方式,在较陡的山坡上,有序挖掘半月形坑穴,坑内种树)等措施,水土流失得到有效治理。

- (1)2020 年黄河开河时间比 2019 年早半个月,主要原因是\_\_\_\_\_。简析黄河磴口段易发生凌汛的主要原因。(4 分)
- (2)黄土高原春旱严重,从气候角度主要是春季\_\_\_\_\_、\_\_\_\_\_。简析鱼鳞坑的生态作用。(6 分)

27. (10分) 阅读材料, 完成下列问题。

材料一: 图1是世界某区域图, 图2为勘察加半岛的水系图。甲是勘察加半岛最大的城市, 是俄罗斯降水最多的地区之一, 冬季气候比较温和。

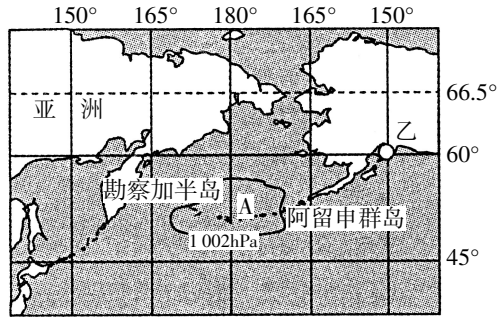


图1



图2

材料二: 阿拉斯加红海参是世界十大顶级海参之一, 品质极佳, 价格昂贵, 主要分布在北美洲太平洋沿岸海域。

(1) 简述1月份A气压中心形成的主要原因。(4分)

(2) 简析甲地年降水量大的主要原因。说出乙地降水大于甲地的主要原因。(4分)

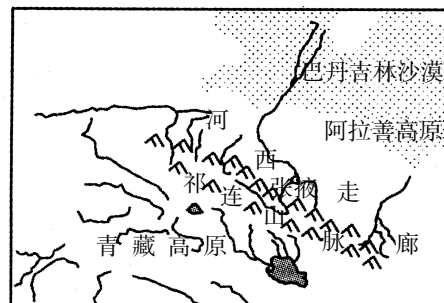
(3) 简析阿拉斯加红海参品质极佳的主要原因。(2分)

28. (12分) 阅读材料, 完成下列问题。

材料一: 图1为祁连山及周边地区略图。祁连山地跨青海、甘肃两省, 总面积17.35万 $\text{km}^2$ 。祁连山自然保护区是我国生物多样性保护热点区域和生态环境最脆弱的区域之一, 其中自然保护区76.4%的面积在张掖境内。

材料二: 图2是祁连山1987和2015年冰川面积( $\text{km}^2$ )分布图。

材料三: 张掖是重要的产煤区, 图3是该地煤炭的综合利用示意图(部分)。



图例 山脉 水域 河流  
图1

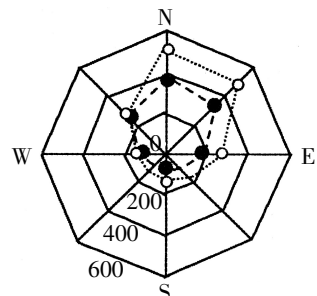


图2

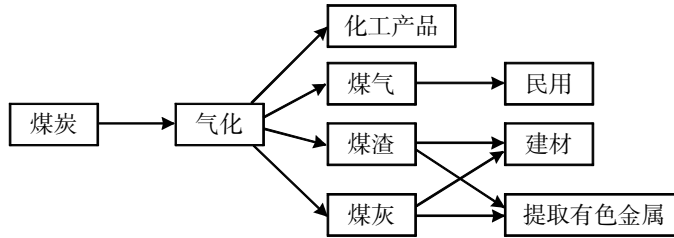


图 3

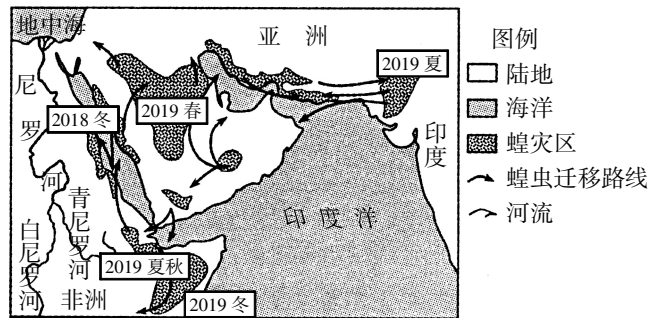
- (1)从地形角度,祁连山生物物种丰富的主要原因是\_\_\_\_\_、\_\_\_\_\_、\_\_\_\_\_。  
(3分)
- (2)与北坡比,简析祁连山南坡冰川的面积特点及成因。(5分)
- (3)与直接燃煤发电比,简析张掖煤炭综合利用的经济效益。(4分)

29. (13分)阅读材料,完成下列问题。

材料一:下图为 2018~2020 年沙漠蝗虫迁徙路线图。

材料二:尼罗河在泛滥前后,河水的颜色会出现明显的变化。每年 2~5 月河水清澈,6、7 月开始河水呈现红褐色,到 11 月红褐色渐渐消失,尼罗河又恢复清澈。

材料三:2017 年印度 GDP 达到 2.44 万亿美元,排名世界第六。同年印度的城市化水平为 32.8%,低于发展中国家的平均水平。



- (1)简析 2018~2020 年沙漠蝗灾的分布特点。(4分)
- (2)简析尼罗河河水颜色随时间变化的主要原因。(4分)
- (3)简述印度的城市化过程的主要特点。(5分)